

ЛИТЕРАТУРА

1. Теория и расчет линейных ускорителей. Сборник. М., Госатомиздат, 1962, стр. 94, 114.
2. A. D. Vlasov. Nucl. Sci. Abstr., 16, 9483, NP-tr-829 (1962).
3. А. Д. Власов. Теория линейных ускорителей. М., Атомиздат, 1965.
4. И. М. Карчинский, А. С. Кронрод. Int. Conf. on Accelerators. Dubna, 1963, p. 906.
5. И. М. Каучинский. Динамика частиц в линейных резонансных ускорителях. М., Атомиздат, 1966.
6. R. Morton. Rew. Scient. Instrum., 36, 1826 (1965).
7. Б. И. Бондарев, А. Д. Власов. «Атомная энергия», 19, 423 (1965); J. Nucl. Energy, Part C, 8, 599 (1966).
8. Б. И. Бондарев, В. В. Пашковский. «Приборы и техника эксперимента», № 4, 24 (1967).
9. P. Lapostolle. Effets de la charge d'espace dans un accelerateur lineaire a protons. CERN, AR/Int.SG/65-15, 1965.
10. R. Gluckstern. Linear Accelerator Conf. Los-Alamos, 1966, p. 237.
11. P. Lapostolle. Lois de phase pour un «Linac». CERN, ISR-300 LIN/66-33, 1966.
12. P. Lapostolle. U.S. Accelerator Conf. Washington, 1967, p. 572.
13. S. Ohnuma, J. Vitale. U.S. Accelerator Conf. Washington, 1967, p. 594.
14. T. Nishikawa, S. Okumura. Int. Conf. on Accelerators. U.S., Cambridge, 1967, p. 162.
15. A. Benton et al. U.S. Accelerator Conf. Washington, 1967, p. 577.
16. И. М. Каучинский. «Атомная энергия», 25, 104 (1968).
17. В. В. Осипов, Б. К. Шембель. В сб. «Тр. Всесоюзного совещания по ускорителям заряженных частиц». М., Изд. ВИНИТИ, 1968.

Создание и исследование магнитных поверхностей с большим широм на стеллараторе «Ураган»

В. Ф. АЛЕКСИН, О. В. БИРЮКОВ, А. В. ГЕОРГИЕВСКИЙ, Ю. И. ГРОТ,
В. Е. ЗИСЕР, Л. Х. КИТАЕВСКИЙ, Д. П. ПОГОЖЕВ, Ю. Ф. СЕРГЕЕВ,
В. А. СУПРУНЕНКО, В. Т. ТОЛОК

УДК 533.9.07:621.039.623

Исследования проводились на стеллараторе-рейстраке «Ураган» с трехзаходным винтовым полем (рис. 1). Продольное магнитное поле H_0 напряженностью до 10 кэс создавалось при протекании тока через 30 катушек, расположенных равномерно с шагом 345 мм вдоль оси установки. Радиус тора $R = 1100$ мм, радиус сечения вакуумной камеры $r = 100$ мм, длина прямолинейного участка 1725 мм, а общая длина $L_0 = 10,35$ м.

Для создания магнитных поверхностей с большим широм S_0 * [1] была использована трехзаходная (с возможностью перекоммутации в двухзаходную) винтовая обмотка с отдельно регулируемыми цилиндрителями [2]. На радиусе винтовой обмотки a , равном 112 мм, угол наклона проводников к продольной оси тора γ равен 30°, а угол наклона обмотки цилиндрической $\gamma_{\text{ц}}$ таков, что $\operatorname{tg} \gamma_{\text{ц}} = 2 \operatorname{tg} \gamma$. Поэтому расчетный ток цилиндрического $J_{\text{ц}}$ равен току винтовой обмотки J [2]. Применение кремнийорганической электроизоляции позволило уложить винтовую обмотку непосредственно на вакуумную камеру, которая могла нагреваться до 400° С.

Использовался метод исследования магнитных полей с помощью однооборотных [3, 4] и многооборотных [5] прохождений электронных пучков малой энергии вдоль установки (см. рис. 1).

Установлено, что для получения однородного продольного магнитного поля с замкнутыми силовыми линиями, параллельными продольной оси рейстрака с точностью ± 1 мм, необходима тщательная настройка, заключающаяся в юстировке катушек в горизонтальной

и вертикальной плоскостях и наложении поперечного магнитного поля. Максимальный диаметр магнитного потока при однократном прохождении равен ~ 180 мм при диаметре диафрагмы 190 мм.

Обнаружено влияние расположения цилиндрических относительно винтовой обмотки и изменения отношения $J_{\text{ц}}/J$ на конфигурацию магнитных поверхностей. Хорошее цилиндрическое получается при $J_{\text{ц}}/J = 0,85$, что совпадает с выводами работы [4] и объясняется отличием реального цилиндрического от расчетной схемы [2]. Цилиндрические поверхности заканчиваются сразу же на выходе силовых линий из цилиндрического, и на прямолинейном участке конфигурация сохраняется. Цилиндрическое не полное — остается вырождение треугольника [6]; так, при $\varepsilon = 0,61$ * радиус одной из магнитных поверхностей $r_0 = 50$ мм $\pm 5\%$.

Средний радиус последней замкнутой поверхности r_0 при данном ε по результатам однооборотных измерений меньше расчетного значения r_0 , что объясняется неполным цилиндрическим магнитных поверхностей (рис. 2).

Оптимальные геометрические и токовые соотношения между всеми элементами магнитной системы, выбранные по однооборотным измерениям, были подтверждены в процессе многооборотных измерений, что говорит о высокой точности изготовления и компенсации в результате настройки паразитных составляющих магнитного поля до уровня $\sim 10^{-3} H_0$. Измеренные углы поворота силовых линий соответствуют расчетным, что дало возможность определить шир по точным формулам работы [7].

Параметры магнитных поверхностей, полученные в результате многооборотных измерений (рис. 3, б),

* $\varepsilon = h_3/H_0$, где h_3 — основная, третья гармоника винтового магнитного поля.

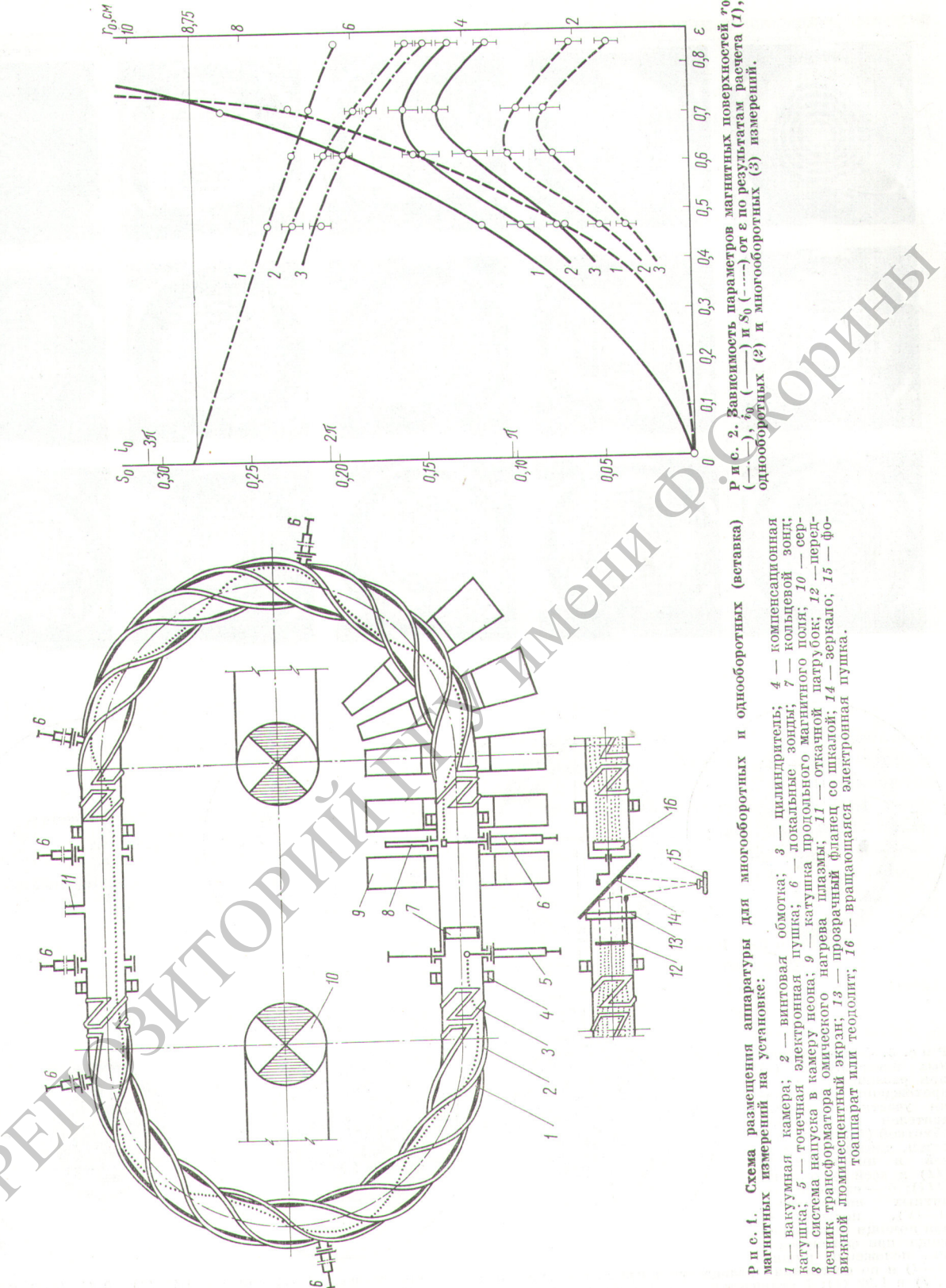
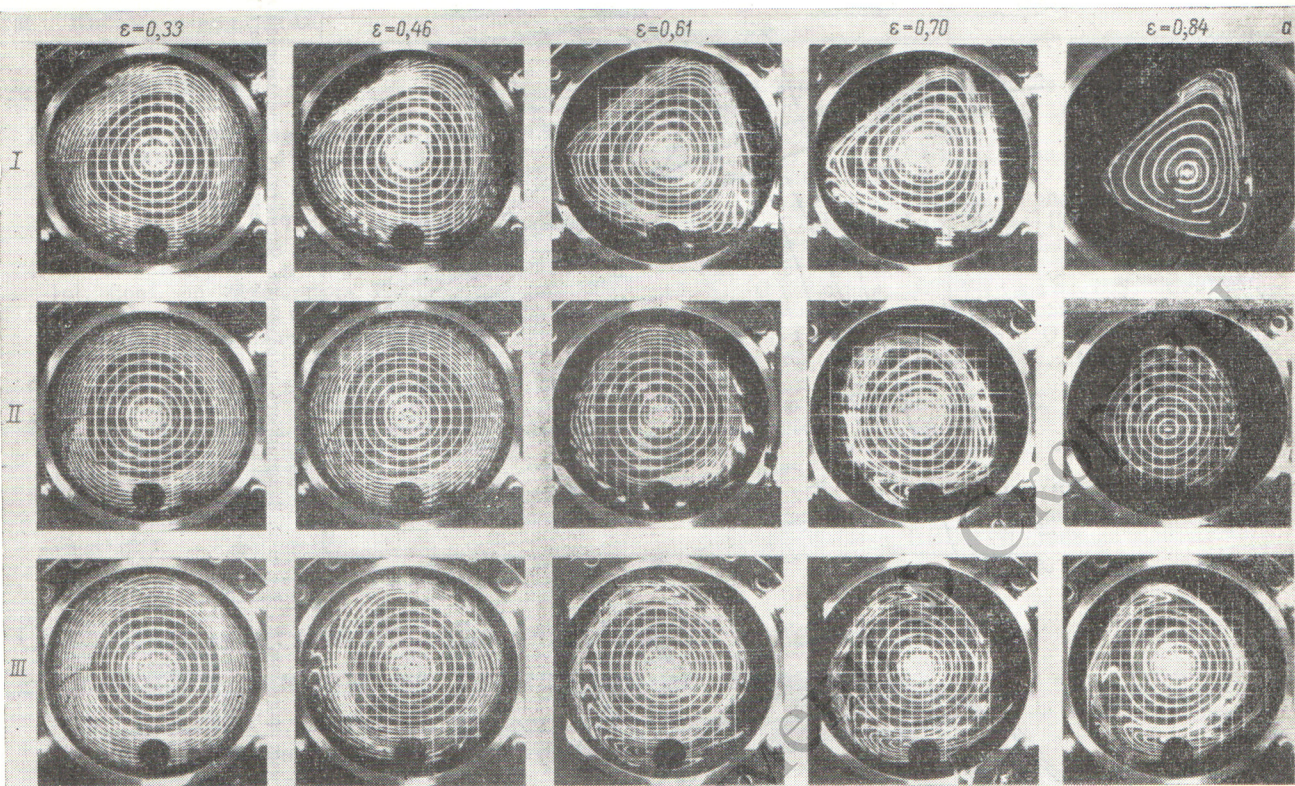
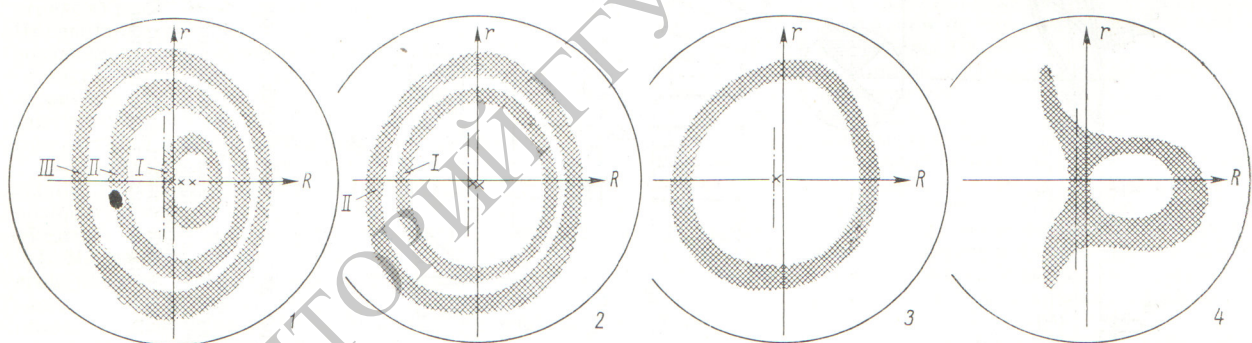


Рис. 1. Схема размещения аппаратуры для многообортных и однобортных (вставка) магнитных измерений на установке:
 1 — вакуумная камера; 2 — винтовая обмотка; 3 — цилиндриттель; 4 — компенсационная катушка; 5 — торцевая электронная пушка; 6 — локальные зоны; 7 — кольцевой зонд; 8 — система напуска в камбуз икона; 9 — катушка пропольного магнитного поля; 10 — сердечник трансформатора омического нагрева шлазма; 11 — откатной патрубок; 12 — передвижной люминесцентный экран; 13 — прозрачный фланец со шкалой; 14 — зеркало; 15 — фокусирующая электронная пушка.

Рис. 2. Зависимость параметров магнитных поверхностей R_0 (---), S_0 (---) и ϵ по результатам расчета (1), однообортных (2) и многообортных (3) измерений.



a



b

Рис. 3. Форма магнитных поверхностей (*a*) при различных ε после прохождения электронами участков с цилиндром и винтовой обмоткой (*I*), цилиндрическим, винтовым обмоткой (*II*) и цилиндром и цилиндрическим (*III*); *b* — сечения магнитных поверхностей (*I*—*IV*), построенных при помощи локального зонда при фиксированном положении пушки (*1*—*4*) и по показаниям кольцевого зонда при изменении положения пушки (*5*—*7*) при $\varepsilon = 0,46$ (*1*), $0,61$ (*2*, *5*), $0,7$ (*3*, *6*, *7*) и $1,02$ (*4*); *7* отличается от *6* наличием дополнительной $H_{\perp}/H_0 \approx 1 \cdot 10^{-3}$; \times — центр магнитной поверхности.

несколько отличаются от полученных при однооборотных измерениях (см. рис. 3, а). Так, при данном ε радиус последней замкнутой поверхности r_0 несколько меньше по многооборотным измерениям. Полученные при многооборотных измерениях поверхности, образованные силовой линией с малым i_0 , в сечении более овальные по сравнению с поверхностями с большим i_0 . Это относится к внутренним поверхностям при данном ε и к поверхностям с одинаковым r_0 при уменьшении ε . Поверхности с большим r_0 и i_0 сдвинуты внутрь примерно на 5 мм, что объясняется тороидальностью магнитной системы, а поверхности с меньшим i_0 больше сдвинуты наружу от центра тора.

Приведенное различие объясняется наличием нескомпенсированной поперечной составляющей $H_\perp/H_0 \approx 1 \cdot 10^{-3}$ [6, 8], небольшим ($\sim 3'$) возможным перекосом плоскостей обмоток, винтовой и продольного поля [9], или относительным смещением на 2–3 мм указанных обмоток в горизонтальной плоскости.

В результате максимальная измеренная величина $i_0 \approx 230^\circ$ на радиусе $r_0 \approx 60$ мм при $\varepsilon \approx 0,65$, что соответствует величине шири $S_0 \approx 0,09$ (см. рис. 2).

Поступило в Редакцию 28/III 1969 г.

ЛИТЕРАТУРА

1. В. В. Кадомцев, О. П. Погуцей. В сб. «Физика плазмы и управляемый термоядерный синтез». Т. 1. Вена, МАГАТЭ, 1966, стр. 365.
2. E. Friesman et al. The Proposed Model C Stellarator Facility Project Matterhorn, Ch. IV, NYO-7899, p. 78.
3. Б. П. Ильинко, В. Г. Зыков. ЖТФ, 31, 1289 (1961).
4. Б. И. Гаврилов, Ф. В. Карманов, Г. П. Максимов. «Атомная энергия», 18, 273 (1964).
5. М. С. Бережецкий и др. ЖТФ, XXXV, 2167 (1965).
6. J. Sheeffield. MATT-Q-24. Annual Report, 1966. USA, Princeton Plasma Physics Laboratory.
7. А. М. Морозов, Л. С. Соловьев. Вопросы теории плазмы. Вып. 2. М., Госатомиздат, 1963, стр. 3.
8. A. Gibson. Phys. Fluids, 10, 1553 (1967).
9. С. Gourdon et al. Доклад СН-24/F-2 на Третьей конференции по исследованиям в области физики плазмы и управляемых термоядерных реакций (Новосибирск, 1968).

Порядок депонирования статей

Депонирование статей осуществляется или по просьбе авторов, или по решению редакционной коллегии журнала.

В журнале печатаются подробные аннотации статей, а полные тексты хранятся в редакции в течение 5 лет и высыпаются читателям по их требованию наложенным платежом. Объем аннотации не должен превышать 2 стр. машинописного текста, а объем депонируемого текста — 12 стр. В отдельных случаях в аннотацию можно включать рисунок, таблицу, основные формулы и т. п.

Сроки опубликования аннотаций значительно короче сроков публикации статей и писем.

Депонированные статьи являются научными публикациями и учитываются при защите диссертаций.

Статьи, представленные для депонирования, должны быть окончательно отработаны авторами и годны для фотографического воспроизведения: текст следует печатать на машинке с жирной черной лентой, формулы вписывать тушью или черными чернилами, рисунки выполнять на ватманской бумаге или кальке и снабжать подписями.

Цена одного экземпляра депонируемого текста 40 коп. При оформлении заказа на тексты депонированных статей необходимо указывать регистрационный номер статьи, который помещен в конце аннотации.

Заказы направлять в редакцию журнала по адресу: Москва, Центр, ул. Кирова, 18.